

I-173 変断面円弧ばりを用いた橋床の剛性について

信州大学 工学部 正員 吉田俊彦
信州大学 工学部 正員 ○三井康司

1. はじめに

曲線げた橋および曲線格子げた橋等において、スパン長が大きくなったり、また連続スパンとなつた場合には、施工が多少煩雑になつても円弧ばりの断面を変断面とする方が経済的に有利であると思われる。筆者らはこの点に注目して3スパン連続橋までの曲線げた橋、曲線格子げた橋における、円弧半径、中心角、断面変化の模様、主げたと横構との関連等について、いろいろ考察しているのでそれを概要を報告する。

2. 基礎計算式

円弧ばりの解析方法には従前よりいろいろ報告されてゐるが、直線部材に対するたわみ角法を円弧部材に適用する方法(注1)が考えやすく、変断面円弧部材にも適用できることで概略を説明する。

図-1において円弧ばり上の任意の点における曲げモーメント M_n とねじりモーメント T_n はつきのようになる。

$$M_n = M_{ba} \cos \beta - T_{ba} \sin \beta + V_{ab} \cdot r \cos \beta, \quad (1)$$

$$T_n = M_{ba} \sin \beta + T_{ba} \cos \beta + V_{ab} \cdot r (1 - \cos \beta). \quad (2)$$

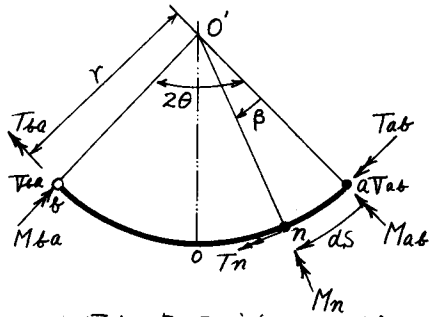
0点での釣り合により、 M_{ba} , T_{ba} は M_{ab} , T_{ab} , V_{ab} のみで表わせる。すなわち、

$$M_{ba} = -\cos 2\theta M_{ab} + \sin 2\theta T_{ab} - r \sin 2\theta V_{ab}, \quad (3)$$

$$T_{ba} = -\sin 2\theta M_{ab} - \cos 2\theta T_{ab} - 2r \sin^2 \theta V_{ab}. \quad (4)$$

M_n と T_n による仕事量 W は、

$$W = \frac{1}{2E} \int \frac{M_n^2}{I} ds + \frac{1}{2G} \int \frac{T_n^2}{J} ds. \quad (5)$$



図中の矢印Tnの方向を正とする。
Vabは軸面に垂直下向きを正とする。

図-1

式(5)において I , J はそれぞれ断面2次モーメント、ねじり抵抗係数を表し、変断面部材であるので β の関数となり積分記号の内に入る。Castiglianoの定理よりたわみ角 θ 、ねじれ角 ϕ はおのおの、 $\theta_{ab} = \frac{\partial W}{\partial M_{ab}}$, $\phi_{ab} = \frac{\partial W}{\partial T_{ab}}$, $\delta_a = \frac{\partial W}{\partial V_{ab}}$, 等となる。 δ_a は a 点の垂直変位である。一方、 W はつきのようにも表わすことができる。すなわち、

$$W = M_{ab} \cdot \theta_a + M_{ba} \cdot \theta_b + T_{ab} \cdot \phi_a + T_{ba} \cdot \phi_b + V_{ab} \cdot \delta_a - V_{ba} \cdot \delta_b. \quad (7)$$

式(3), (4)を式(7)に代入して、

$$W = M_{ab} (\theta_a - \cos 2\theta \cdot \theta_b - \sin 2\theta \cdot \phi_b) + T_{ab} (\phi_a + \sin 2\theta \cdot \theta_b - \cos 2\theta \cdot \phi_b) + V_{ab} (\delta_a - \delta_b - r \sin 2\theta \cdot \theta_b - 2r \sin^2 \theta \cdot \phi_b). \quad (8)$$

式(8)より $\frac{\partial W}{\partial M_{ab}}$, $\frac{\partial W}{\partial T_{ab}}$, $\frac{\partial W}{\partial V_{ab}}$ を求めると式(9)のようになる。

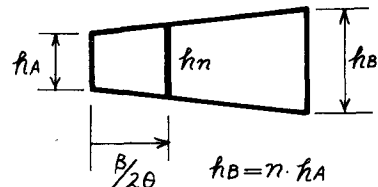
また I , J についてはねじり抵抗係数の大きさをボックス断面について計算例を示す。変断面とする場合、高さ a , 幅 b がおのおのの1次、2次、3次関数として変化する場合の組合せを考えられ

などが最も簡単なる場合としてそれが1次的に変化し、それが一定なる場合を示す。

$$\begin{bmatrix} \frac{\partial W}{\partial M_{AB}} \\ \frac{\partial W}{\partial T_{AB}} \\ \frac{\partial W}{\partial V_{AB}} \end{bmatrix} = \begin{bmatrix} 1 & \cos 2\theta & 0 & \sin 2\theta & 0 & 0 \\ 0 & \sin 2\theta & 1 & \cos 2\theta & 0 & 0 \\ 0 & r \sin 2\theta & 0 & 2r \sin^2 \theta & 1 & -1 \end{bmatrix} \left\{ \theta_a \theta_b \phi_a \phi_b \delta_a \delta_b \right\} \quad (9)$$

n 梁の断面2次モーメント I_n は、 $h_B = n h_A$ 、 $\beta = n - 1$ とし、 $I_n = \left\{ 1 + (\beta/2\theta) \right\}^3 I_A$ (10) となる。 I_A は n 梁で n 断面2次モーメントである。またねじり抵抗係数 J_n は、

$$J_n = 2t(h_A \cdot b)^2 \left\{ 1 + (\beta/2\theta) \right\}^2 / \left[h_A \left\{ 1 + (\beta/2\theta) \right\} + b \right] \quad (11)$$



式(5)の I 、 J に式(10)、(11) が代入される。式(5)より、

$$\begin{aligned} \frac{\partial W}{\partial M_{AB}} &= \left(\frac{1}{E} c_{mm} + \frac{1}{G} g_{mm} \right) M_{AB} + \left(\frac{1}{E} c_{mt} + \frac{1}{G} g_{mt} \right) \\ &\quad \times T_{AB} + \left(\frac{1}{E} c_{mv} + \frac{1}{G} g_{mv} \right) T_{AB} \cdot r, \quad (12) \text{ 等} \end{aligned}$$

$$\text{ここで } c_{mm} = \int \frac{\cos^2 \beta}{I} ds, \quad c_{mt} = \int \frac{-\sin \beta \cos \beta}{I} ds. \quad (13)$$

$$\text{また, } \frac{\partial W}{\partial T_{AB}} = \left(\frac{1}{E} c_{em} + \frac{1}{G} g_{em} \right) M_{AB} + \left(\frac{1}{E} c_{et} + \frac{1}{G} g_{et} \right) T_{AB} \\ \left(\frac{1}{E} c_{ev} + \frac{1}{G} g_{ev} \right) T_{AB} \cdot r. \quad (14) \quad \text{等}$$

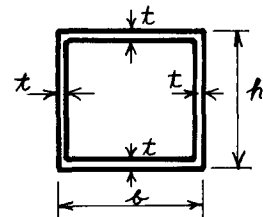


図-2

$g_{em} = \int \frac{\sin \beta \cos \beta}{J} ds, \quad g_{ev} = \int \frac{(1 - \cos \beta)^2}{J} ds, \quad (15) \text{ 等} \text{ である。式(13), (15) 等の積分は煩雑} \text{ ようので計算機により計算できる。式(12), (14) 等より式(16) \text{ が成立立つ。}}$

$$\begin{bmatrix} \frac{\partial W}{\partial M_{AB}} \\ \frac{\partial W}{\partial T_{AB}} \\ \frac{\partial W}{\partial V_{AB}} \end{bmatrix} = B \begin{bmatrix} M_{AB} \\ T_{AB} \\ T_{AB} \cdot r \end{bmatrix} \quad (16) \quad \text{ただし } B = \begin{bmatrix} \mu c_{mm} + g_{mm} & \mu c_{mt} + g_{mt} & \mu c_{mv} + g_{mv} \\ \mu c_{em} + g_{em} & \mu c_{et} + g_{et} & \mu c_{ev} + g_{ev} \\ \mu c_{em} + g_{em} & \mu c_{et} + g_{et} & \mu c_{ev} + g_{ev} \end{bmatrix}. \quad (17)$$

ここに $\mu = G/E$ である。式(9)の (3×6) の行列を A とおくと式(18) が成立立つ。すなわち、

$$\begin{bmatrix} M_{AB} \\ T_{AB} \\ T_{AB} \cdot r \end{bmatrix} = B^{-1} A \left\{ \theta_a \theta_b \phi_a \phi_b \delta_a \delta_b \right\}. \quad (18)$$

式(18)によて変断面円弧はりの端モーメント式が表わされる。以下この円弧部材を含む構造物の計算は通常の方法で進められる。

図-3, 図-4 は式(18)の係数の一例である。

3. おわりに

断面変化が2次、3次となる場合も式(10)、(11)が変わらなければ計算方法は全く同様に進められる。変断面連続曲線格子の計算については当日報告する。

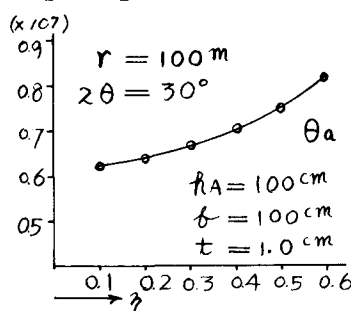


図-3 ($B^{-1}A \sim \beta$ 曲線)

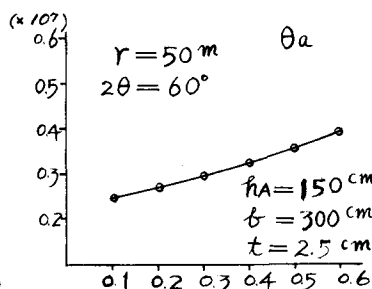


図-4

参考文献:

山本宏: 円弧部材を有する平面構造物に対するモーメント分配法, 土木学会論文集, 174号 (注1)

山崎, 大田: 円弧部材を有するラーメンの立体解析, 土木学会論文集, 107号

渡辺昇: 曲線げたの理論と計算, 技報堂, 1967